

## ارزیابی و تخمین ذخیره پلاسربی تیتانیوم خانیک- غازان ارومیه، آذربایجان غربی

یوسف رحیم‌سوری

گروه زمین‌شناسی، دانشکده علوم پایه، دانشگاه ارومیه، ارومیه

\* y.rahimsouri@urmia.ac.ir  
نویسنده مسئول:

دریافت: ۹۵/۲/۱۴ پذیرش: ۹۶/۳/۱۰

### چکیده

کانسار پلاسربی تیتانیوم خانیک- غازان در ۸۲ کیلومتری شمال باختری شهر ارومیه و در انتهای شمال باختری زون ساختاری سنندج- سیرجان واقع شده است. بر اساس مطالعات کانه‌نگاری مشخص شد که کانه‌های فلزی اصلی این ذخیره، ایلمنیت، ایلمنو-مگنتیت و مگنتیت می‌باشند و مطالعات سنگنگاری نیز سنگ‌های منشاء این کانی‌ها را عمدهاً گابروهای لایه‌ای مشخص نموده است. نتایج بررسی دانه‌بندی و تعیین ابعاد نمونه کلی این پلاسرب نشان داده است که ۶۸ درصد از حجم رسوبات، ماسه (جزء ریزتر از ۲/۳۶ میلی‌متر) و ۳۲ درصد باقی‌مانده، گراول (بخش درشتتر از ۲/۳۶ میلی‌متر) می‌باشد. طراحی اکتشافی در بخش‌های امید بخش این ذخیره بر اساس مطالعات صحرایی، نتایج تجزیه‌های شیمیایی نمونه‌برداری‌های اولیه و نقشه‌های توپوگرافی و زمین‌شناسی تهیه شده با مقیاس‌های ۱/۵۰۰۰ و ۱/۲۰۰۰ صورت گرفت و بر این اساس، تعداد ۸ ترانشه و ۴۳ چاهک اکتشافی در محل‌های مناسب حفر گردید. با رعایت اصول نمونه‌برداری مختص ذخایر پلاسربی، تعداد ۲۵۲ نمونه از کارهای اکتشافی برداشت و به روش فلورسانس اشعه ایکس (XRF) مورد تجزیه شیمیایی قرار گرفتند. پردازش‌های آماری، میانگین عیار  $TiO_2$  در ترانشه‌ها را ۱/۷۲ درصد وزنی (متغیر از ۰/۶ تا ۳/۲۹) و در چاهک‌های اکتشافی، ۲/۳۹ درصد وزنی (متغیر از ۱/۰ تا ۴/۸۳) تعیین کرده است. با استفاده از روش مقاطع قائم، ذخیره قطعی کانسنگ پلاسرب تیتانیوم خانیک- غازان، ۱۲ میلیون تن با عیار میانگین ۲/۳۳ درصد وزنی  $TiO_2$  تخمین زده شد. بر اساس بررسی‌های درجه آزادی صورت پذیرفته روی نمونه‌های معرف کانسنگ مشخص شد که محدوده ابعاد مناسب برای خردایش بخش ماسه‌ای،  $500\text{ }\mu\text{m}$ - و برای بخش گراولی،  $250\text{ }\mu\text{m}$ - می‌باشد. مطالعات فرآوری نیز نشان داده است که فراکسیون  $+70$  مش  $(+210\text{ }\mu\text{m})$  بخش ماسه‌ای کانسنگ پلاسرب محدوده مورد مطالعه، کنسانتره‌پذیری بالایی داشته بطوریکه با استفاده از اسپیرال به عنوان پرعيار کننده اولیه و میز لرزان به عنوان پرعيار کننده نهایی، کنسانتره ایلمنیتی با عیار ۴۰/۱۱ درصد وزنی  $TiO_2$  و بازیابی ۸۶/۴۱ درصد به دست آمده است.

**واژه‌های کلیدی:** ایلمنیت، کانسارهای پلاسربی، ارزیابی ذخیره، درجه آزادی، کانسار خانیک- غازان، ارومیه

آنورتوزیت‌ها و سنگ‌های وابسته، سنگ‌های گابرو و گابرونوریت نیز به عنوان منابع جدید مورد توجه واقع شده‌اند که دلیل آن به غیر از داشتن محصولات جانبی فسفر (آپاتیت) و وانادیوم (در مگنتیت)، داشتن محتوای بسیار کمتر  $Cr$  و  $Mg$  ایلمنیت نسبت به سایر ذخایر می‌باشد [۱۵ و ۱۶].

محدوده اکتشافی تیتانیوم خانیک- غازان ارومیه در شمال باختری ورقه سرو و در فاصله ۸۲ کیلومتری شمال باختری شهر ارومیه بین طول‌های شرقی ۴۴°، ۴۱°، ۳۸°، ۲۰° تا ۳۷° و عرض‌های شمالی ۵۷°، ۵۹°، ۲۱° تا ۳۷° واقع شده است (شکل ۱).

ایلمنیت ماقمایی اولیه [۵] و ب) تیپ پلاسربی ثانویه [۸] است. ذخیره پلاسربی خانیک- غازان اولین ذخیره

### ۱- مقدمه

حدود ۹۰ درصد از کل ذخایر تیتانیوم اکسیدی ( $TiO_2$ ) اقتصادی جهان از کانی ایلمنیت و ۱۰ درصد دیگر از کانی روتیل تامین می‌شود. کانسارهای سنگی<sup>۱</sup> بر جا در حدود ۳۰ از ذخایر ایلمنیت و ۷۰ درصد باقی‌مانده و تقریباً کل روتیل جهان از کانسارهای پلاسرب نابر جا تامین می‌گردد [۱۷]. در سطح جهانی فعلًا از ۳ کانسار سنگی بهره‌برداری به عمل می‌آید که عبارتند از: لک تیو<sup>۲</sup> در کبک کانادا [۱۴]، تلنس<sup>۳</sup> در جنوب‌غرب نروژ [۱۳] و دامیائو<sup>۴</sup> در چین [۱۶]. امروزه به غیر از

<sup>1</sup>: Hard-rock

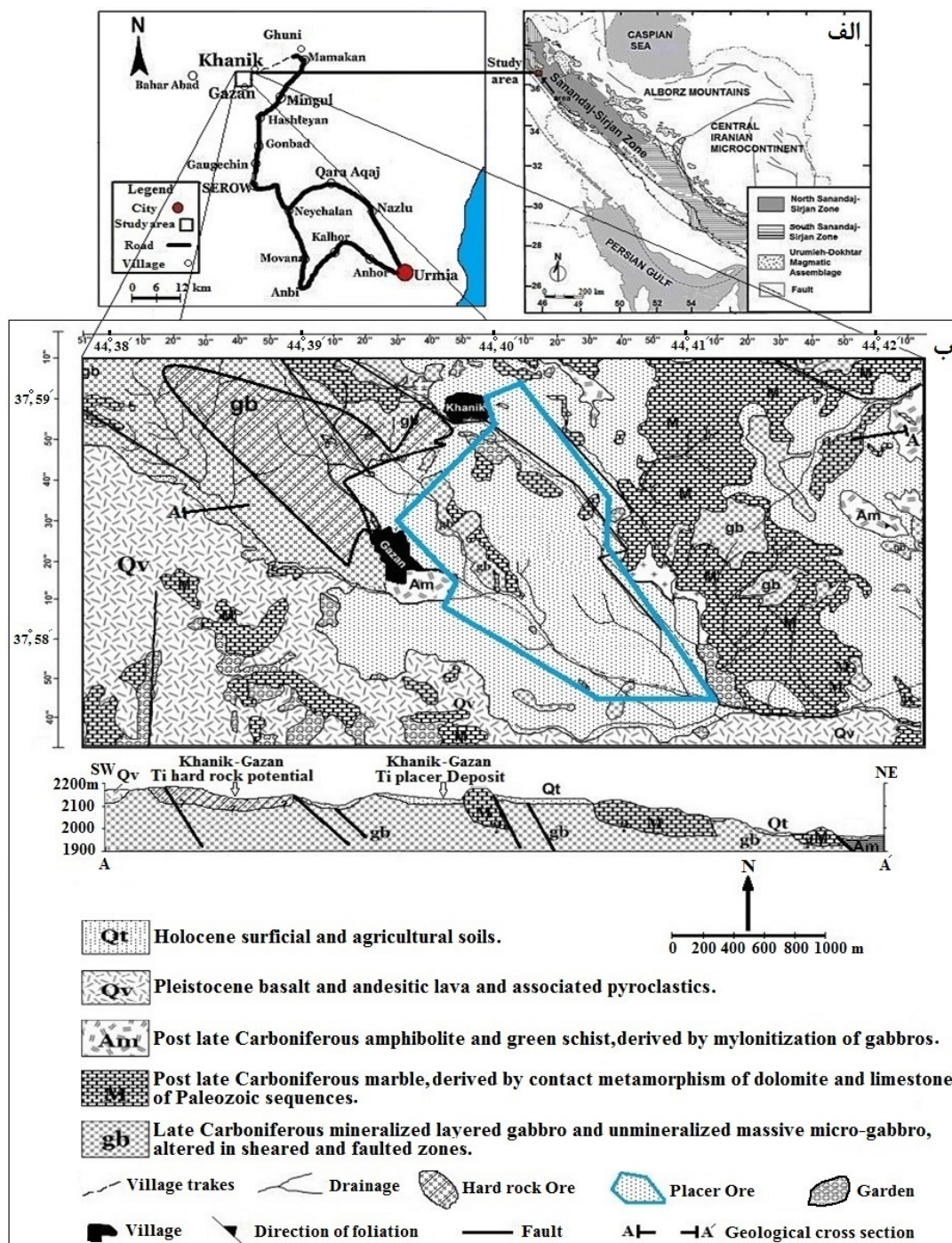
<sup>2</sup>: Lac Tio

<sup>3</sup>: Tellnes

<sup>4</sup>: Damiao

ذخایر مشابهی در استان‌های خراسان رضوی [۳]، کرمان و سیستان و بلوچستان [۱۱] گزارش شده است.

پلاسربی در استان آذربایجان غربی بوده که در سال ۱۳۹۱ توسط شرکت توسعه و سرمایه‌گذاری آتیه سپید آسیا (سهامی خاص) مورد اکتشاف تفصیلی قرار گرفته است.



شکل ۱. ا. الف: موقعیت محدوده مورد مطالعه روی نقشه ساده زمین‌شناسی ایران [۱۸] و ب: نقشه زمین‌شناسی کانسار تیتان خانیک-غازان ارومیه [۸]

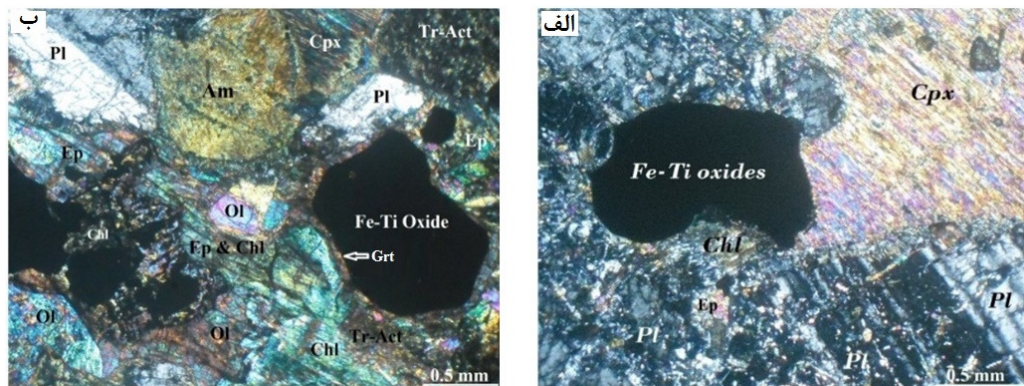
گابروهای با بافت لایه‌ای متوسط تا درشت بلور و توده‌ای ریزبلور متعلق به کربونیفر پسین [۲]. ملا- و مزو- گابروهای لایه‌ای این مجموعه، سنگ‌های منشاء ذخایر پلاسیری تیتانیوم مناطق پایین دست هستند. این گابروها دارای بافت دانه‌ای متوسط تا درشت بلور بوده و از کانی‌های اصلی پلازیوکلаз با دگرسانی سوسوریتی و کلینوپیروکسن‌های (عدمتأوژیت) با دگرسانی اورالیتی و کانی‌های فرعی آمفیبول، اولیوین و اکسیدهای *Fe-Ti* تشکیل شده‌اند (شکل ۲).

روی این گابروها، مرمرهای حاصل از دگرگونی مجاورتی سنگ‌های دولومیتی و آهکی پالئوزویک (اردودویسین) قرار گرفته‌اند. در منطقه مطالعه‌ی رخمنون‌هایی محدود از آمفیبولیت و کلریت شیست حاصل از میلیونیتی شدن گابروها دیده می‌شوند. از جوانترین واحدهای زمین‌شناسی نیز می‌توان به گدازه‌های بازالتی و آندزیتی منتبه به پلیستوسن و آبرفت‌های ضخیم و خاک‌های سطحی و کشاورزی هولوسن اشاره نمود.

## ۲- زمین‌شناسی

ورقه سرو که بخش‌های شمال‌باختری آن در برگیرنده محدوده اکتشافی است در تقسیم‌بندی اشتولکلین [۲۰] در انتهای شمال‌باختری پهنه سندنج- سیرجان واقع شده است. علوی نائینی [۱۲] این منطقه را محل برخورد دو پهنه ساختاری ایران مرکزی و سندنج- سیرجان می‌داند. ازدری [۱] و آقانباتی و حقی‌پور [۴] محدوده نقشه ۱/۱۰۰۰۰ سرو را لبه پلاتفرم ایران مرکزی می‌دانند که در پالئوزویک بالایی (قبل از پرمین) نخست مورد هجوم مagmaهای بازیک و اسیدی واقع شده و به دنبال آن به شدت تحت تاثیر حرکت‌های برشی قرار گرفته و تمامی سنگ‌های پالئوزویک و توده‌های آذرین (گابروها و گرانیت‌ها) و هاله دگرگونی آن‌ها میلیونیتی شده‌اند. در مجموع این محققین نتیجه گرفته‌اند که ویژگی‌های اصلی پهنه سندنج- سیرجان در محدوده نقشه سرو دیده نمی‌شود ولی می‌توان این ناحیه را پایانه شمال‌باختری پهنه سندنج- سیرجان در نظر گرفت.

بر اساس نقشه زمین‌شناسی محدوده اکتشافی (شکل ۱) و شواهد سنگچینه‌شناسی از قدیم به جدید واحدهای سنگ‌شناسی محدوده به شرح زیر می‌باشند [۸]:



شکل ۲. تصاویر میکروسکوپی گابروهای منشاء پلاسیر تیتانیوم محدوده مطالعه؛ الف: گابرو درشت بلور با کانی‌های پلازیوکلاز (*Pl*) سوسوریتی شده و کلینوپیروکسن (*Cpx*) اورالیتی شده، ب: اولیوین گابروی متوسط بلور با کانی‌های پلازیوکلاز (*Pl*) بطری بخشی دگرسان شده به اپیدوت (*Ep*) و کلریت (*Chl*) و کانی‌های فرعی آمفیبول (*Am*)، اولیوین (*Ol*) در حال تجزیه شده به سرینتین و کانی گارنت (*Grt*) حاصل از واکنش سیال غنی از اکسیدهای *Fe-Ti* با کانی‌های سیلیکاتی (تصاویر در نور عبوری متقطع گرفته شده است).

و چاهک‌های اکتشافی تعیین گردید. در مجموع تعداد ۴۳ چاهک (با عمق‌های ۱ تا ۱۲ متر، متراز حدود ۱۴۵ متر و ۱۲۱ نمونه جهت تجزیه شیمیایی) و ۸ ترانشه (با عمق متوسط ۲/۸ متر، متراز طولی حدود ۹۸۰ متر و ۱۳۱ نمونه جهت تجزیه شیمیایی) حفر شدند. به ازای هر پنج متر طولی در امتداد ترانشه یک نمونه بطری

## ۳- روش مطالعه

پس از بازدیدهای صحرایی و نمونه‌برداری‌های سطحی از رسوبات، نقشه‌های توپوگرافی و زمین‌شناسی ۱/۱۰۰۰۰ از کل مساحت محدوده اکتشافی (۳۵ کیلومتر مربع) تهییه شد. در ادامه، شبکه اکتشافی مناسبی در مناطق امیدبخش طراحی و محل کارهای اکتشافی شامل ترانشه

#### ۱-۴- مطالعات درجه آزادی

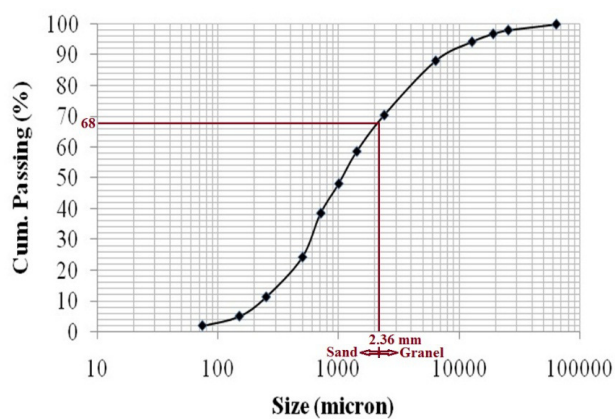
از بخش‌های ماسه‌ای و گروال نمونه معرف پلاسر (ترانشه  $T3$ ، پس از آماده‌سازی‌های لازم، با استفاده از رزین و قالب‌گیری بطور جداگانه، مقاطع صیقلی و نازک-صیقلی تهیه گردید. با توجه به اهمیت کانه‌های کانسنگ و بخش‌های ابعادی آن‌ها، مطالعات کانه‌آرایی مقدماتی و میکروسکوپی روی مقاطع صیقلی از فراکسیون‌های مختلف نمونه دانه‌بندی شده با استفاده از میکروسکوپ پلاریزان دو منظوره (نور عبوری و انعکاسی) مدل اولیمپوس انجام شد. عیار ایلمنیت در بخش گروالی نمونه کلی حدود ۳ درصد وزنی تعیین شده و درجه آزادی کانی ایلمنیت در فراکسیون  $+70$  مش ( $+210$  میکرون) حدود ۷۳٪ گزارش شده است. بخش ماسه‌ای نیز دارای عیار ایلمنیت ۷ درصد وزنی بوده و درجه آزادی کانی ایلمنیت در فراکسیون‌های  $+25$  مش ( $+710$  میکرون)،  $+50$  مش ( $+300$  میکرون) و  $+70$  مش ( $+210$  میکرون) به ترتیب حدود ۷۱٪، حدود ۸۰٪ و بیش از ۸۰٪ گزارش شده است [۹]. سایر اطلاعات کانی‌شناسی و کانه‌آرایی مقدماتی در جدول ۱ و تصاویر میکروسکوپی مقاطع صیقلی فراکسیون‌های مختلف در شکل‌های ۴ و ۵ آورده شده‌اند.

برای اطمینان از گسترش عمقی ذخیره پلاسر (بویژه زیر زمین‌های کشاورزی محدوده اکتشافی) و کنسانتره‌پذیری آن، پس از حفر ترانشه‌ها، نمونه‌ای معرف از بخش گروالی و ماسه‌ای ترانشه  $T3$  برداشت گردید و به روش  $XRF$  مورد تجزیه شیمیایی قرار گرفت. میانگین  $TiO_2$  بخش گروالی  $1/42$  درصد وزنی و بخش ماسه‌ای  $2/52$  درصد وزنی تعیین شد. بخش ماسه‌ای (مش -۸) این ترانشه نیز پس از اختلاط و بدون خردایش اولیه توسط توسط میز لرزان، شستشو و بوسیله جداکننده مغناطیسی مورد آرایش قرار گرفت. فازهای اصلی شناسایی شده به روش  $XRD$  کنسانتره تولیدی، ایلمنیت با فرمول  $FeTiO_3$  و ایلمنیت منیزیم‌دار با فرمول  $(Fe, Mg)(Ti, Fe)O_3$  تعیین شده است. نتایج فرآوری مقدماتی نیز وجود کانی ایلمنیت و امکان کنسانتره‌پذیری کانسنگ مذکور را تایید نمود. تجزیه شیمیایی کنسانتره ایلمنیت تولیدی، عیار  $TiO_2$  را  $37/17$  و  $Fe_2O_3$  را  $42/34$  درصد وزنی نشان داده است [۶].

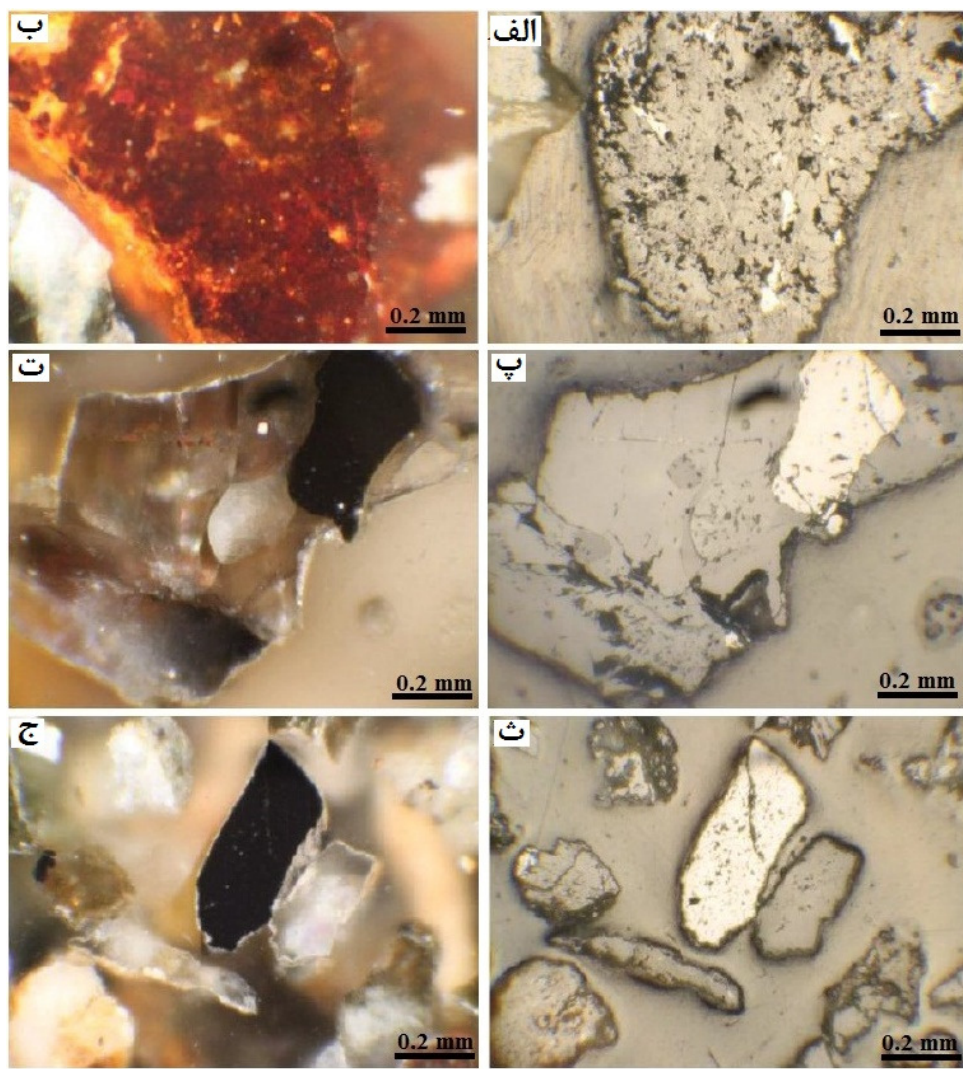
جداگانه از بخش عمقی (پر عیار) و یک نمونه از بخش سطحی (کم عیار) از طرفین ترانشه از پایین به بالا نمونه‌برداری شده و در مورد چاهک‌ها نیز بطور جداگانه یک نمونه از بخش عمقی پر عیار و یک نمونه از بخش سطحی کم عیار بصورت ترکیبی از ۴ طرف چاهک نمونه‌برداری شده است. برای بررسی‌های کانی‌شناسی و فرآوری مقدماتی (تعیین فازها، دانه‌بندی، درجه آزادی، تولید کنسانتره و تعیین عیار  $TiO_2$  و سایر اکسیدهای اصلی) نیز از کامل‌ترین و طویل‌ترین ترانشه (ترانشه  $T3$ ) نمونه‌ای کلی به وزن تقریبی  $750$  کیلوگرم از رسوبات پلاسر در طول ترانشه برداشت و مورد آزمایشات مربوطه قرار گرفت. جهت تولید کنسانتره و بررسی فازهای کانی‌شناسی و تعیین درصد وزنی کانی ایلمنیت نیز مقدار  $5$  کیلوگرم از نمونه معرف پلاسر توسط میز لرزان و جداکننده مغناطیسی نیز در دانشکده معدن دانشگاه صنعتی سهند- تبریز مورد آزمایش قرار گرفت. پس از آماده‌سازی‌های لازم، تجزیه شیمیایی اکسیدهای اصلی نمونه‌های ترانشه و چاهک‌ها، به روش  $XRF$  در آزمایشگاه شرکت مهندسی و تحقیقاتی فلزات غیرآهنی زنجان (سهامی خاص) با صلاحیت آزمایشگاه  $NACI/Lab/291$  صورت گرفت. تعداد  $25$  نمونه رسوب پلاسری نیز جهت تعیین فازهای کانی‌شناسی به روش  $XRD$  در شرکت مطالعات مواد معدنی زرآزما مورد آزمایش قرار گرفت و به همین تعداد نیز مقطع صیقلی از کانسنگ پلاسری (پس از آماده‌سازی‌های لازم) تهیه و مطالعه شدند. در پایان جهت انتقال کارهای اکتشافی، بلوک‌بندی و تخمین ذخیره قطعی، نقشه توپوگرافی- زمین‌شناسی با مقیاس  $1/2000$  از مناطق امید بخش تهیه گردید.

#### ۴- بحث و بررسی

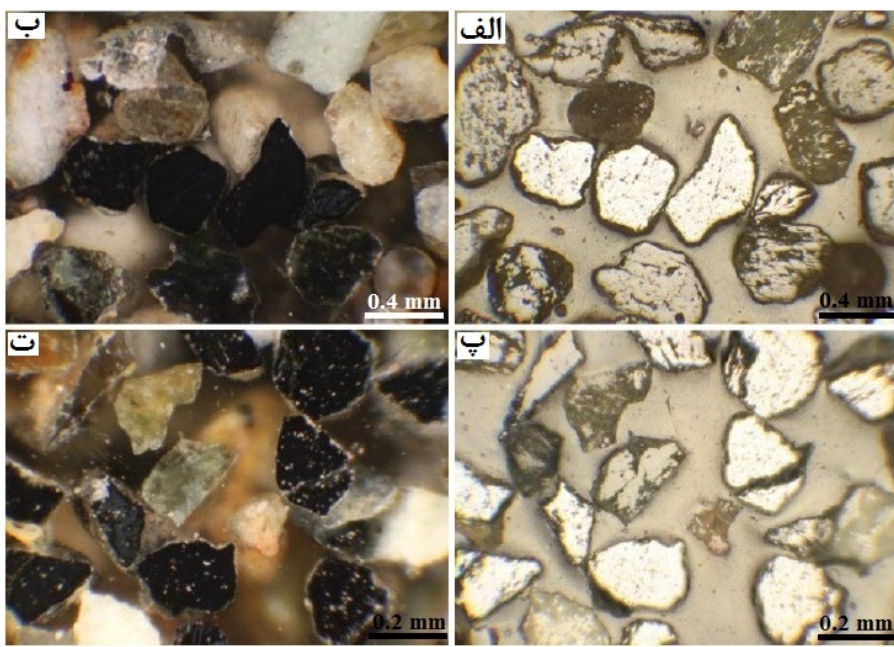
در ذخایر پلاسری پس از شناسایی ذخیره، بررسی دانه‌بندی و تعیین حجم بخش‌های مختلف ابعادی از اقدامات اولیه ارزیابی است. نتایج بررسی دانه‌بندی نمونه ۶۸ معرف پلاسر خانیک- غازان ارومیه نشان داده است که درصد از حجم نمونه‌ها را رسوب در ابعاد ماسه (جزء  $2/36$  میلی‌متر) و  $32$  درصد باقی مانده حجم را گروال (بخش درشت‌تر از  $2/36$  میلی‌متر) تشکیل داده است (شکل ۳).



شکل ۳. نمودار دانه‌بندی نمونه معرف پلاس خانیک-غازان (ترانشه T3)



شکل ۴. تصاویر میکروسکوپی بخش گروالی رسوبات؛ الف: ایلمنیت درگیر در باطله‌های سیلیکاتی در بخش ابعادی  $+25$  میلی‌متر در نور پلاریزه بازتابی ساده، ب: هماتیت در بخش ابعادی  $+25$  میلی‌متر در نور بازتابی متقطع، پ و ت: درگیری ایلمنیت با باطله سیلیکاتی در بخش ابعادی  $+50$  میلی‌متر به ترتیب در نور بازتابی ساده و متقطع، ث و ج: کانی آزاد شده ایلمنیت در بخش ابعادی  $+70$  میلی‌متر به ترتیب در نور بازتابی ساده و متقطع



شکل ۵. تصاویر میکروسکوپی ایلمنیت آزاد شده بخش ماسه‌ای رسوبات؛ الف و ب: با درصد حجمی کمتر از ۳۰ در بخش ابعادی +۵۰+۵۰+۵۰ در بخش ابعادی +۷۰+۷۰ در نور بازنای ساده، ب و ت در نور بازنای متقطع)

جدول ۱. نتایج مطالعات کانه‌نگاری و درجه آزادی ایلمنیت بخش گروالی و ماسه‌ای نمونه معرف پلاس در فراکسیون‌های مختلف

(الف) بخش گروالی : عیار ایلمنیت حدود ۳ درصد وزنی در همراهی با کانی‌های مگنتیت (با بافت برون‌رساندن ایلمنیت) و همانیت

درجه آزادی	۷۳	۶۷	۴۸	
درایر توضیحات	تفاوت زیادی در مقدار کانی‌های با ارزش سنگین و آزادشده‌گی آنها نسبت به فراکسیون‌های زیادی کاهش یافته و آزاد سازی بهتر صورت خواهد گرفت.	درگیری‌های رگچه‌ای و ادخالی سنگین و آزادشده‌گی آنها نسبت به فراکسیون‌های زیادی کاهش یافته و آزاد سازی بهتر صورت خواهد گرفت.	در این فراکسیون جداسازی تیغه‌های مگنتیت از ایلمنیت با روش‌های فیزیکی امکان پذیر نمی‌باشد.	کانی‌های عمده باطله‌های سیلیکاته و کانی‌های ایلمنیت (با ابعاد ۴۰ تا ۳۰ میکرون و درگیر بصورت ادخال در کانی‌های سیلیکاته) و مگنتیت (با بافت برون‌رساندن درون باطله‌های سیلیکاته و همانیت ایلمنیت)
فراکسیون ۷۰+مش	فراکسیون ۳۰۰+۳۰۰ (۲۱۰+میکرون)	فراکسیون ۲۵+مش	فراکسیون ۲۵+مش (۷۱۰+میکرون)	---
فراکسیون ۲۱۰+میکرون	باطله‌های سیلیکاته، کانی‌های ایلمنیت و مگنتیت مارتیتی شده با مقدار جزئی پیروتیت بصورت ادخال درون باطله‌های سیلیکاته و همانیت	باطله‌های سیلیکاته و کانی‌های ایلمنیت (با ابعاد ۴۰ تا ۳۰ میکرون و درگیر بصورت ادخال در کانی‌های سیلیکاته) و مگنتیت (با بافت برون‌رساندن درون باطله‌های سیلیکاته و همانیت ایلمنیت)	باطله‌های سیلیکاته و کانی‌های ایلمنیت (با ابعاد ۴۰ تا ۳۰ میکرون و درگیر بصورت ادخال در کانی‌های سیلیکاته) و مگنتیت (با بافت برون‌رساندن درون باطله‌های سیلیکاته و همانیت ایلمنیت)	---

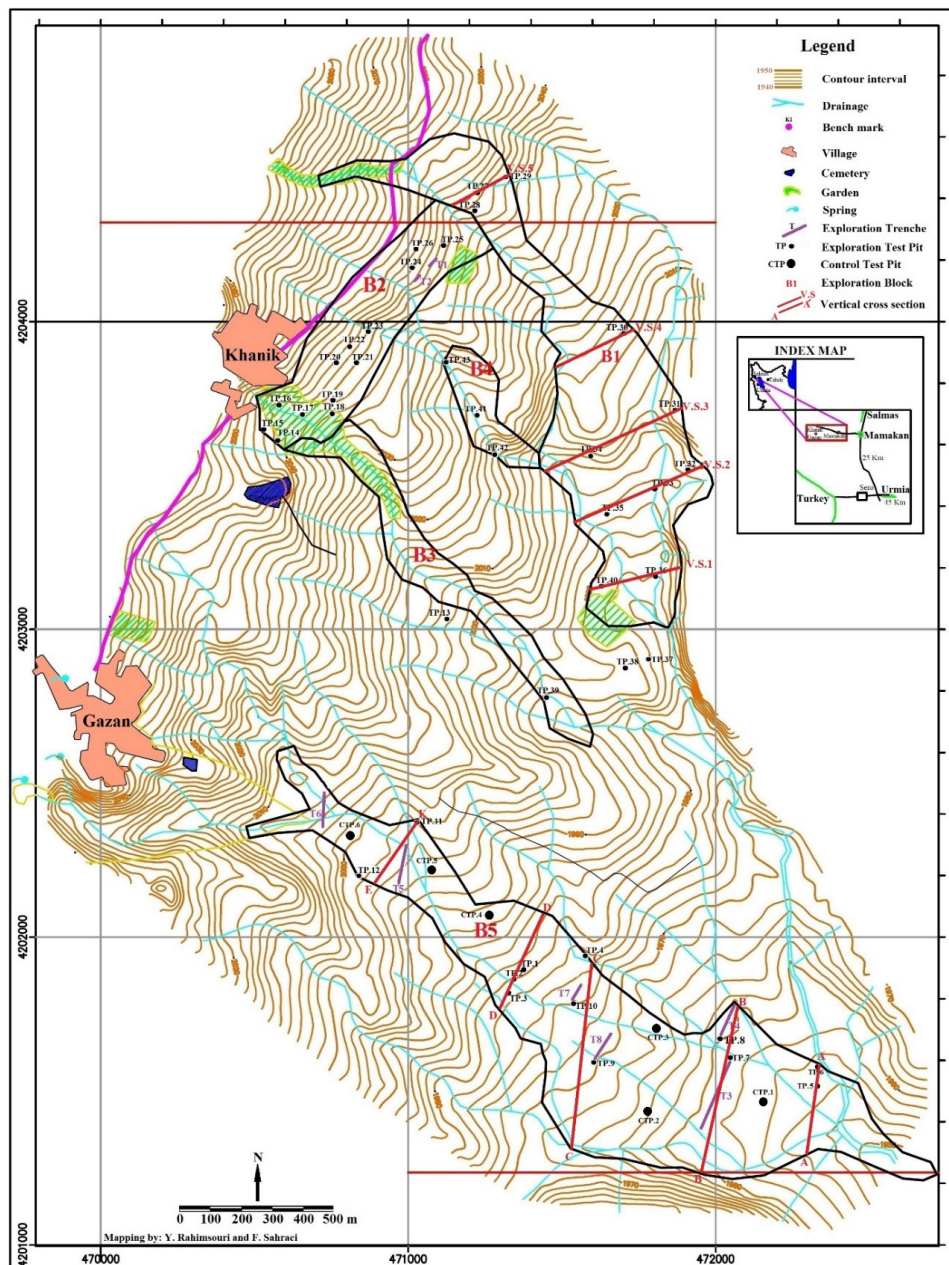
(ب) بخش ماسه‌ای : عیار ایلمنیت ۷ درصد وزنی در همراهی با مگنتیت مارتیتی شده

درجه آزادی	>% ۸۰	% ۸۰	% ۷۱	
سایر توضیحات	وجود ادخال در نمونه‌های بخش ماسه‌ای به مقدار کانی‌های با ارزش سنگین نسبت به فراکسیون ۲۵+مش (۷۱۰+میکرون)	آثار تبدیل شدن به لوکوکسن بصورت حاشیه‌ای در ایلمنیت دیده می‌شود.	آثار تبدیل شدن به لوکوکسن بصورت حاشیه‌ای در ایلمنیت دیده می‌شود.	---

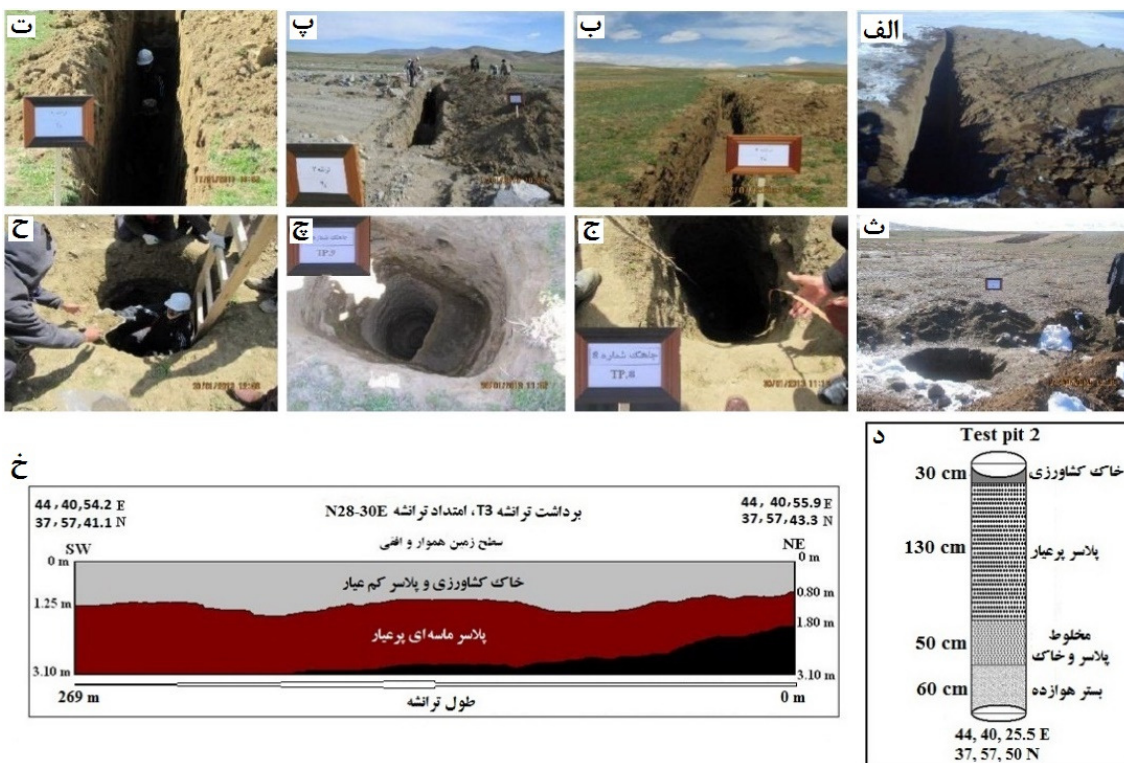
تجزیه‌های شیمیایی ۱۳۱ نمونه از ترانشه‌ها و ۱۲۱ نمونه از چاهک‌ها، میانگین عیار  $TiO_2$  در ترانشه‌ها ۱/۷۲ درصد وزنی (متغیر از ۰/۶ تا ۳/۲۹) و در چاهک‌های اکتشافی ۲/۳۹ درصد وزنی (متغیر از ۱/۰۱ تا ۴/۸۳) تعیین شده است. مقطع هر ترانشه و چاهک اکتشافی بر اساس تغییرات ظاهری، دانه‌بندی و عیار بطور دقیق ترسیم شده‌اند [۹]. بررسی اکتشافی ترانشه‌ها و چاهک‌ها در زیر به تفکیک آورده شده‌اند.

#### ۲-۴- حفاری‌های اکتشافی

در شکل ۶ موقعیت ۸ ترانشه (*T1-T8*) و ۴۳ چاهک اکتشافی (*TP.1-TP.43*) و در شکل ۷ تصاویر تعدادی از آن‌ها آورده شده‌اند. ترانشه‌ها دارای مجموع طول حفاری شده ۷۷۸/۵ متر، عرض حدود ۱ متر و عمق حفاری متغیر از ۱/۵ تا ۳ متر و چاهک‌های اکتشافی نیز دارای مجموع عمق حفاری شده ۱۴۰/۳ متر با سطح مقطع متوسط ۱/۵ متر مربع می‌باشند. بر اساس نتایج



شکل ۶. موقعیت ترانشه‌ها، چاهک‌های اکتشافی و مقاطع قائم روی بلوك‌های *B1* و *B5* کانسار پلاسربی خانیک- غازان روی نقشه ۱/۲۰۰۰ توپوگرافی



شکل ۷. نمای تعدادی از ترانشه‌ها و چاهک‌های حفر شده در محدوده پلاس خانیک- غازان؛ الف: ترانشه T3، ب: ترانشه T6، ت: ترانشه T7، ث: ترانشه T8، ج: چاهک TP.2، ج: چاهک TP.9، ح: چاهک TP.8، خ: چاهک T3 و T7، د: برداشت TP.2

شده دارای میانگین حسابی (غیر وزنی) ۱/۵۸ درصد است (شکل ۷-الف) که با نتایج میانگین وزنی (۱/۶۱ درصد) سازگاری بسیار خوبی نشان می‌دهد. این نتیجه بیانگر برداشت دقیق مشخصات نمونه‌ها از جمله طول و عمق معرف آن‌هاست. از طرفی حدود اطمینان در سطح اعتماد مهندسی ۹۵٪ برای میانگین نمونه‌های حاصل از این ترانشه ۱/۷۱ - ۱/۴۶ درصد محاسبه شده است. توزیع  $TiO_2$  در ترانشه کم و بیش نرمال بوده ولی رابطه دقیق و مشخصی با سایر اکسیدهای اصلی به دلیل ثانوی بودن محیط از خود نشان نداده است. در شکل ۷-الف تصویری از بخش شمال خاوری ترانشه ۳ و در شکل ۷-خ برداشت ترانشه ۳ آورده شده است.

ترانشه ۴ در امتداد ترانشه ۳ به سمت آبراهه خانیک طراحی و اجرا شده است. این ترانشه به دلیل سخت بودن رسوبات و ظاهر شدن سنگ بستر از جنس مرمر در کف دارای عمق کمتری نسبت به سایر ترانشه‌ها می‌باشد. در مقایسه با سایر ترانشه‌های حفاری شده، افق سطحی این ترانشه نسبت به افق عمقی دارای عیار نسبتاً بالاتری از

#### ۴-۲-۱- بررسی اکتشافی ترانشه‌ها

ترانشه‌های اکتشافی ۱ و ۲ در شمال خاوری روستای خانیک و سایر ترانشه‌ها در جنوب خاوری روستای غازان واقع شده‌اند (شکل ۶). میانگین عیار  $TiO_2$  ترانشه ۱ بر اساس تجزیه‌های شیمیایی ۳/۲۹ درصد وزنی (متغیر بین ۲/۴۳ تا ۳/۷۲) و ترانشه ۲، ۲/۹۶ درصد وزنی تعیین شده است.

ترانشه ۳ که دارای بیشترین طول حفاری است دارای عیار  $TiO_2$  متغیر از ۱ درصد تا ۲/۷ درصد وزنی می‌باشد. نمونه‌های با عیار  $TiO_2$  بین ۱/۴۵ تا ۱/۷ درصد دارای بیشترین فراوانی هستند (شکل ۷-الف). با توجه به متفاوت بودن طول و عمق موثر نمونه‌های برداشت شده، میانگین وزنی  $TiO_2$  در این ترانشه ۱/۶۱ درصد محاسبه شده است. نتایج کارهای اکتشافی ترانشه ۳، گسترش جانبی پلاس را بیش از ۲۷۰ متر نشان می‌دهد، هر چند که تمرکز  $TiO_2$  از سطح به عمق و در طول ترانشه دارای تغییراتی می‌باشد. بررسی آماری ۴۹ نمونه اخذ شده از ترانشه ۳ نشان می‌دهد که در نمونه‌های برداشت

مانع特 روستائیان و محدودیت حفاری، ترانشه‌های ۷ و ۸ در امتداد هم حفر نشده‌اند. مقایسه این دو مقطع می‌تواند نشان‌دهنده تغییرات کیفی و کمی تمرکز کانی‌های سنگین به سمت منشاء باشد. ترانشه‌های ۷ و ۸ را تقریباً می‌توان مقطعی واحد به سمت سنگ منشاء در نظر گرفت، لذا با هم توصیف شده‌اند. در شکل‌های ۷-۸-ت تصاویری از ترانشه‌های ۷ و ۸ آورده شده‌اند. ترانشه ۸ تقریباً در مسیر جدید آبراهه ولی ترانشه ۷ در تراس‌های قدیمی‌تر حفاری شده است. به همین دلیل تمرکز کانی‌های سنگین در تراس‌های قدیمی‌تر (ترانشه ۷) بیش‌تر از تراس‌ها و رسوبات جدیدتر (ترانشه ۸) می‌باشد. به عبارتی دیگر، با دور شدن از بسترها جدید آبراهه به سمت تراس‌های قدیمی‌تر، کانی‌های سنگین تمرکز نسبتاً بالاتری را از خود نشان می‌دهند. البته این موضوع می‌تواند به دلیل عمق ترانشه‌ها نیز باشد بطوریکه در رسوبات جدید ضخامت بیش‌تر بوده و ترانشه حفر شده نتوانسته است رسوبات قدیمی را قطع نماید. این مطلب را می‌توان با مطابقت دادن با داده‌های چاهک‌های اکتشافی که به این منظور حفر شده‌اند مورد بررسی و تفسیر قرار داد. عیار  $TiO_2$  در ترانشه ۷ از ۱/۴ تا ۳/۴ درصد (با میانگین وزنی ۱/۷۷ درصد) و در ترانشه ۸ از ۰/۸ تا ۲/۵ درصد (با میانگین وزنی ۱/۴۳ درصد) در تغییر است. بررسی آماری نتایج حاصل از دو ترانشه (شکل ۸-ت) نشان می‌دهد که عیار میانگین حسابی (غیر وزنی)  $TiO_2$  این دو ترانشه ۱/۶۹ درصد (متغیر بین ۱/۴۵ تا ۱/۹۳ درصد با سطح اعتماد مهندسی ۰/۹۵٪) می‌باشد. میانگین حسابی با نتایج میانگین وزنی (۱/۶ درصد) سازگاری بسیار خوبی نشان می‌دهد، که این به نوبه خود نشان‌دهنده برداشت دقیق ترانشه‌هاست. با توجه به حداکثر عمق ترانشه‌ها، در هیچ نقطه‌ای از مقطع ترانشه‌ها، سنگ بستر مشاهده نشده است. به نظر می‌رسد گسترش عمقی پلاسر در محدوده ترانشه‌های ۷ و ۸ بیش‌تر از عمق حفاری شده باشد.

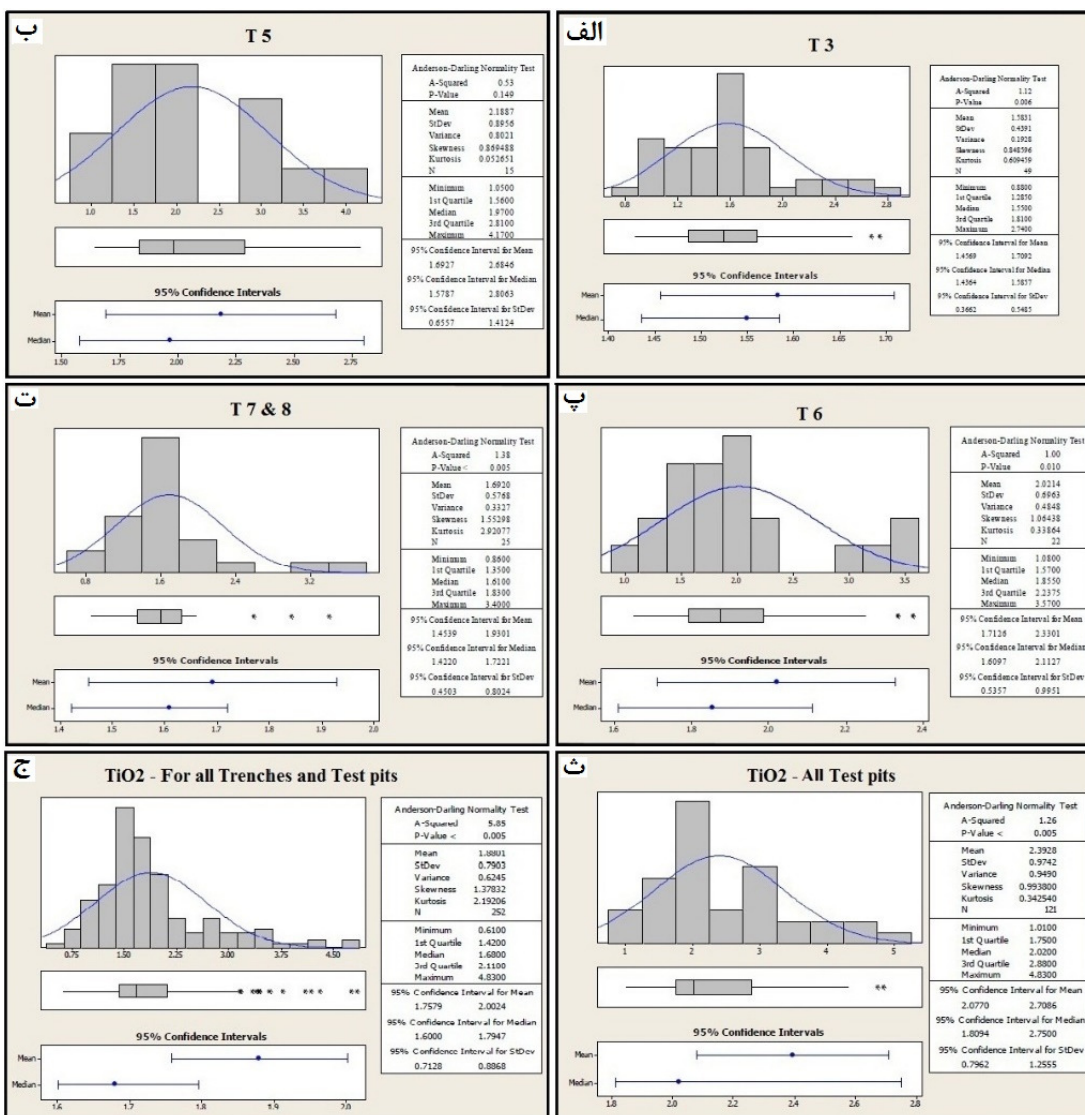
میانگین فراوانی کانی ایلمنیت بر اساس مطالعات اولیه فراوری روی نمونه‌های معرف ترانشه‌ها، ۳/۵۷ درصد وزنی تعیین شده است [۹].

است، بطوریکه عیار  $TiO_2$  در افق عمقی (نzdیک سنگ بستر) تا ۰/۶ درصد هم کاهش یافته ولی افق سطحی دارای میانگین عیار ۲/۱ درصد می‌باشد. متوسط عیار وزنی  $TiO_2$  در این ترانشه ۱/۲۳ درصد محاسبه شده است. حداکثر عمق پلاسر مطلوب در این ابتدای این ترانشه حدود ۰/۵ متر بوده ولی با گسترش آن به سمت آبراهه خانیک (شکل ۶) دارای عمق ۲/۳ متر و عیار نسبتاً خوبی می‌باشد.

ترانشه ۵ در فاصله تقریبی ۱۲۰۰ متری شمال باختری ترانشه ۳ و ۴ و ۸۰۰ متری جنوب خاوری روستای غازان ۲/۷ تا ۲/۲ متر متغیر بوده و دو افق سطحی و عمقی در آن بطور کامل از هم قابل تشخیص هستند. عیار  $TiO_2$  در این ترانشه از ۱/۰۵ درصد تا ۴/۱۷ درصد وزنی در تغییر بوده است. افق سطحی در این ترانشه نسبت به سایر ترانشه‌ها عیار بالایی از کانی سنگین نشان داده است. بر اساس ارزیابی‌های آماری، میانگین حسابی  $TiO_2$  حدود ۲/۱۸ درصد (با حدود اطمینان ۰/۷-۰/۷ در سطح اعتماد مهندسی ۰/۹۵٪) محاسبه شده است (شکل ۸-ب). که با میانگین وزنی داده‌ها (۲/۲۸ درصد وزنی) تطابق بسیار خوبی نشان می‌دهد. صرف نظر از عیار متوسط، فراوانی نمونه‌هایی که عیار بالای میانگین دارند در این ترانشه بیش‌تر از سایر ترانشه‌های است.

ترانشه ۶ در ۳۰۰ متری شمال باختری ترانشه ۵ واقع شده و عمق متوسط این ترانشه حدود ۲/۴ متر می‌باشد. عیار  $TiO_2$  در آن از ۱/۰۸ تا ۳/۵۷ درصد در تغییر است. مقایسه نتایج این ترانشه با ترانشه ۵ نشان می‌دهد که توزیع کانی‌های سنگین در مقطع ترانشه ۶ یکنواخت‌تر از مقطع ترانشه ۵ می‌باشد. نتایج واریانس محاسبه شده ترانشه ۶ (۰/۵۳ تا ۰/۹۹ در مقایسه با ترانشه ۵ (با واریانس محاسبه ۰/۶۵ تا ۱/۴۱) گویای این واقعیت می‌باشد (شکل ۸-ب و ۸-پ). بر اساس ارزیابی‌های آماری، میانگین حسابی درصد  $TiO_2$  در ترانشه ۶/۰۲ بوده که سازگاری بسیار نزدیکی با مقدار وزنی آن (۰/۴ درصد) دارد. در شکل ۷-ب تصویری از ترانشه ۶ نشان داده شده است.

ترانشه ۷ و ۸ به ترتیب در فاصله تقریبی ۶۰۰ و ۴۰۰ متری شمال باختری ترانشه ۳ و تقریباً در قسمت میانی آبراهه غازان طراحی و اجرا شده‌اند (شکل ۶). به دلیل



شکل ۸. نتایج آماری  $TiO_2$  تجزیه‌های شیمیایی؛ الف تا: در ترانشه‌ها اکتشافی و چ: در کل ترانشه‌ها و چاهک‌ها

اساس پارامترهای آماری، میانگین حسابی (غیر وزنی) عیار  $TiO_2$  در کل چاهک‌ها، ۲/۳۹ درصد (با حدود اطمینان ۲۰/۷ تا ۲۰/۰۷ درصد در سطح اعتماد مهندسی٪/۹۵) ارزیابی شده است (شکل ۸-پ). میانگین وزنی  $TiO_2$  نیز ۲/۵ درصد محاسبه گردیده با میانگین حسابی تطابق خوبی نشان داده است. واریانس نسبتاً بالای داده‌ها (۰/۰۷۹) تا (۱/۲۵) به دلیل پراکندگی چاهک‌ها در محدوده اکتشافی می‌باشد. در شکل ۸-ث نیز نتایج آماری کل تجزیه‌های شیمیایی  $TiO_2$  (ترانشه‌ها و چاهک‌ها اکتشافی) نشان داده شده است.

#### ۲-۲-۴- بررسی اکتشافی چاهک‌ها

ترانشه‌های اکتشافی حفر شده در محدوده اکتشافی به خوبی تداوم کانی‌سازی را در طول ترانشه‌ها نشان داده‌اند ولی با توجه به اینکه عمق این ترانشه‌ها حداقل ۳ متر بوده است لذا گسترش عمقی کانی‌سازی دقیق مشخص نشده است، به همین دلیل اقدام به حفر چاهک شده است. در مجموع تعداد ۴۳ چاهک با عمق‌های متغیر از ۱ متر تا ۱۱/۷ متر در محل‌های مناسب طراحی شده حفر گردیدند. حداقل عیار  $TiO_2$  در چاهک‌ها ۱/۰۱ درصد وزنی (چاهک اکتشافی ۲۱) و حداقل آن ۴/۸۳ درصد وزنی (چاهک اکتشافی ۱۱) اندازه‌گیری شده است. بر

کارهای اکتشافی فقط بلوک  $B_1$  را می‌توان به روش مقاطع قائم، تخمین ذخیره قطعی نمود. در مورد زون غازان نیز با توجه به مطالب اشاره شده فقط یک بلوک موسوم به  $B5$  تخمین ذخیره قطعی شده است. لازم است یادآوری شود در مواردی که تفاوت مساحت سطح دو

مقطع متواالی کمتر از ۳۰ درصد بوده از فرمول:

$$V = (S_1+S_2)/2 \times L_1 + (S_2+S_3)/2 \times L_2 + \dots + (S_{n-1}+S_n)/2 \times L_n$$

و در مواردی که تفاوت مساحت سطح دو مقطع متواالی بیشتر از ۳۰ درصد بوده از فرمول:

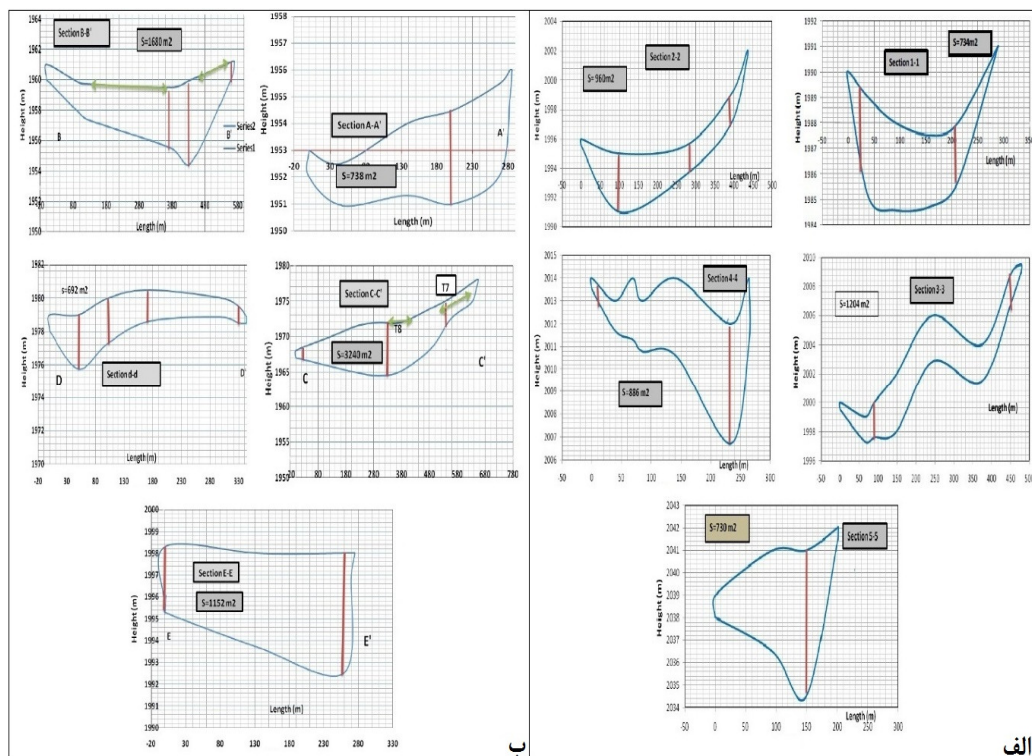
$$V = (S_1+S_2+\sqrt{S_1 \cdot S_2})/3 \times L_1 + (S_2+S_3+\sqrt{S_2 \cdot S_3})/3 \times L_2 + \dots + (S_{n-1}+S_n+\sqrt{S_{n-1} \cdot S_n})/3 \times L_n$$

برای محاسبه حجم کائسینگ استفاده شده است [۱۰]. تصاویر مقاطع قائم بلوک  $B_1$  زون خانیک و بلوک  $B5$  زون غازان در شکل ۹ و مشخصات مقاطع قائم این دو بلوک در جدول ۲ و نتایج تخمین ذخیره در جدول ۳ به تفکیک آورده شده‌اند. بر اساس محاسبات به عمل آمده مجموع ذخیره پلاسربی کائسینگ خانیک- غازان، ۱۲۰۰۶۲۸۲ تن با عیار میانگین ۲/۳۳۸ درصد وزنی  $TiO_2$  و مجموع ذخیره  $TiO_2$  ۲۸۰۷۰۷ تن تخمین زده است.

### ۳-۴- تخمین ذخیره

در پژوهش فعلی جهت تخمین ذخیره پلاسربی از روش کلاسیک مقاطع قائم استفاده شده است. لازم است اشاره شود ذخیره قطعی کائسین خانیک- غازان قبل از روش‌های زمین‌آمار کائسین خانیک- غازان، ۱۱۷۶۷۰۰۰ تن با عیار میانگین  $TiO_2$  ۲/۰۴ درصد وزنی محاسبه شده است. مجموع ذخیره محاسبه شده به روش‌های زمین‌آمار کائسین خانیک- غازان، ۱۱۷۶۷۰۰۰ تن با عیار میانگین  $TiO_2$  ۲/۰۴ درصد وزنی محاسبه شده است [۷]. بر اساس مطالعات واریوگرام و رسم آن، شعاع تاثیر نمونه‌ها، ۳۵۰ متر محاسبه شده است. بر این اساس و با توجه همسانگرد بودن کائسین و موقعیت کارهای اکتشافی (ترانشه و چاهک‌ها)، فواصل بین مقاطع قائم در اکثر موارد کمتر از ۳۵۰ متر و در سه مورد به دلیل ممانعت‌های محلی (وقوع محل ترانشه طراحی شده در زمین‌های کشاورزی تعدادی از روستاییان)، فواصل طولی بین ترانشه‌ها بیشتر از شعاع تاثیر بوده که با حفر چاهک‌های تکمیلی بین این ترانشه‌ها (شکل ۵)، تغییرات عیار و ضخامت پلاسربی کنترل شده است.

زون خانیک بر اساس تغییرات رسوب‌شناسی و کیفیت به ۴ بلوک مختلف با نام‌های  $B_1$ ,  $B_2$ ,  $B_3$  و  $B_4$  تقسیم شده است (شکل ۶) که از این تعداد با توجه به موقعیت



شکل ۹. تصاویر مقاطع قائم؛ الف: بلوک  $B_1$  زون خانیک، ب: بلوک  $B_5$  زون غازان (بلوک  $B_5$ )

جدول ۲. مشخصات مقاطع قائم بلوک‌های اصلی کانسار پلاسربی خانیک- غازان جهت تخمین ذخیره

مساحت مقطع (متر مربع)	طول مقطع (متر)	قطع A	مساحت مقطع (متر مربع)	طول مقطع (متر)	قطع ۱
۷۳۸	۲۸۲	A	۷۳۴	۲۸۹	۱
۱۶۸۰	۵۶۲	B	۹۶۰	۴۳۵	۲
۳۲۴۰	۶۳۰	C	۱۲۰۴	۴۷۸	۳
۶۹۲	۳۳۰	D	۸۸۶	۲۶۴	۴
۱۱۵۲	۲۵۹	E	۷۳۰	۲۰۱	۵

جدول ۳. تخمین ذخیره قطعی کانسار پلاسربی خانیک- غازان به روش مقاطع قائم

## بلوک B1 زون پلاسربی خانیک

ذخیره $TiO_2$ (تن)	وزن (تن)	چگالی ( $g/m^3$ )	عيار متوسط ( $TiO_2\%$ )	حجم ( $m^3$ )	فاصله متوسط بين دو مقطع (m)	$(S_n+S_{n+1})/2$	مساحت میانگین بين دو مقطع ( $m^2$ )	سطح مقطع یا
							$(S_n+S_{n+1}+\sqrt{S_n.S_{n+1}})/3$	
۶۹۰۱	۲۶۸۵۲۶/۵	۲/۶۹	۲/۵۷	۹۹۸۲۴	۱۳۶	۷۳۴	خارج از قطع ۱	
۱۱۴۶۹/۸	۶۱۳۳۶۰/۳	۲/۶۹	۱/۸۷	۲۲۸۰۱۵	۲۷۰	۸۴۴/۵	$S_1-S_2$	
۱۰۳۴۶	۵۵۶۲۳۴/۵	۲/۷۲	۱/۸۶	۲۰۴۴۹۸	۱۸۹	۱۰۸۲	$S_2-S_3$	
۱۹۲۱۴/۶	۷۸۴۲۶۸/۶	۲/۷۱	۲/۴۵	۲۸۹۳۹۸	۲۷۸	۱۰۴۱	$S_3-S_4$	
۴۶۰۶۳/۴	۱۳۱۹۸۶۸	۲/۷۰	۳/۴۹	۴۸۸۸۴۰	۶۰۵	۸۰۸	$S_4-S_5$	
۱۹۳۵۰/۳	۵۰۲۶۰۵	۲/۷۰	۳/۸۵	۱۸۶۱۵۰	۲۵۵	۷۳۰	خارج از قطع ۵	
۱۱۳۳۴۵	۴۰۴۴۸۶۳	۲/۷۰۲	۲/۸۰	۱۴۹۶۷۲۵	-	-	کل	
بلوک B5 زون پلاسربی غازان								
ذخیره $TiO_2$ (تن)	وزن (تن)	چگالی ( $g/m^3$ )	عيار متوسط ( $TiO_2\%$ )	حجم ( $m^3$ )	فاصله متوسط بين دو مقطع (m)	مساحت میانگین بين دو مقطع ( $m^2$ )	سطح مقطع	
$(S_n+S_{n+1}+\sqrt{S_n.S_{n+1}})/3$								
۸۶۸۳/۹	۴۲۱۵۴۵/۶	۲/۷۲	۲/۰۶	۱۵۴۹۸۰	۲۱۰	۷۳۸	خارج از قطع A	
۱۹۱۱۱/۳	۱۰۵۰۰۷۲/۳	۲/۷۲	۱/۸۲	۳۸۶۰۵۶	۳۲۸	۱۱۷۷	$S_A-S_B$	
۴۳۴۴۴/۲	۲۳۲۲۲۲۰/۴	۲/۷۰	۱/۸۷	۸۶۰۴۵۲	۳۵۶	۲۴۱۷	$S_B-S_C$	
۳۹۶۱۴/۶	۱۸۵۱۱۴۹/۷	۲/۷۰	۲/۱۴	۶۸۵۶۱۱	۳۷۹	۱۸۰۹	$S_C-S_D$	
۳۵۹۸۶/۷	۱۴۰۵۷۲۹/۴	۲/۶۹	۲/۵۶	۵۲۲۵۷۶	۵۷۳	۹۱۲	$S_D-S_E$	
۲۳۸۸۸/۶	۹۰۴۸۷۳	۲/۶۹	۲/۶۴	۳۳۶۳۸۴	۲۹۲	۱۱۵۲	خارج از قطع E	
۱۷۰۷۲۹/۳	۷۹۵۶۵۹۰/۴	۲/۷۰	۲/۱۳	۲۹۴۶۰۵۹	-	-	کل	
مجموع ذخیره قطعی کانسار و محتوای $TiO_2$ کانسار								
مجموع ذخیره کانسنسگ (تن)	عيار متوسط کانسار (%)	$TiO_2$ (تن)						
۱۲۰۰۱۴۵۳/۴	۲/۳۳۸	۲۸۴۰۷۴/۳						

می‌باشد. مطالعات کانه‌نگاری و فرآوری اولیه کانسنسگ نشان داده است که فراوانی کانی ایلمنیت در بخش گروالی به طور میانگین ۳ درصد وزنی و در بخش ماسه‌ای حدود ۷ درصد وزنی می‌باشد. درجه آزادی کانی ایلمنیت در فراکسیون  $+70$  مش ( $+210$  میکرون) بخش‌های گروالی و ماسه‌ای به ترتیب حداقل ۷۳ درصد بالای ۸۰ درصد تعیین شده است. مطالعات فرآوری نیز نشان داده است که کانسنسگ پلاسربی خانیک و غازان، کنسانتره‌پذیری بالایی داشته و با روش‌های فیزیکی به راحتی می‌توان کنسانتره مطلوبی تولید نمود. بر اساس درصد وزنی  $Fe_2O_3$  و  $TiO_2$  نمونه پلاسربی و کنسانتره تولیدی و درصد بازیابی و همچنین نتیجه XRD می‌توان نتیجه گرفت که کانه اصلی کنسانتره تولیدی، ایلمنیت می‌باشد. بر اساس مطالعات اکتشافی و فرآوری صورت پذیرفته می‌توان نتیجه گرفت که کانسار پلاسربی ایلمنیت خانیک-غازان ارومیه دارای کمیت و کیفیت مناسبی بوده و در آینده‌ای نزدیک قابلیت تبدیل شدن به معنی فعال را دارد. کانسنسگ پلاسربی این کانسار و کانسارهای مشابه در منطقه می‌توانند بخشی از خوراک اولیه واحدهای تولید کنسانتره ایلمنیت و پیگمنت  $TiO_2$  نظری واحد در حال طراحی قره‌آغاج را تامین نمایند.

### قدرتانی

بدینوسیله از حمایت‌های مالی دانشگاه ارومیه، همکاری علمی مشاور فرآوری شرکت توسعه و سرمایه‌گذاری آتبه سپید آسیا (دارنده پروانه اکتشاف) و داوران محترم مقاله تقدير و تشکر به عمل می‌آید.

### منابع

- [۱] اژدری، ک (۱۳۷۹) پترولوزی سنگ‌های مafیک و الترامافیک کمپلکس غازان واقع در چهارگوش سرو، پایان‌نامه کارشناسی ارشد، پژوهشکده علوم زمین، سازمان زمین‌شناسی و اکتشافی معنی کشور، ۱۵۰، ص.
- [۲] اسدپور. م، پورمعافی. م، و هویس. ث (۱۳۹۲) ژئوشیمی، پترولوزی و تعیین سن توده مافیک-اولترامافیک غازان، شمال‌غرب ایران، پترولوزی، سال چهارم، شماره ۱۴، ۱-۱۶.
- [۳] اعلمی‌نیا، ز، و گل قندشتی، م (۱۳۹۰) بررسی کانسار تیتانیم پلاسربی در استان خراسان رضوی. اولین همایش ملی زمین‌شناسی ایران.

### ۴-۴- مطالعات فرآوری

مهتمرین نتایج مطالعات فرآوری کانسنسگ پلاسربی خانیک ارومیه به شرح زیر گزارش می‌گردد:

۱- بر اساس مطالعات درجه آزادی و تأیید آن‌ها در روش‌های مختلف فرآوری، محدوده ابعادی مناسب برای خردایش بخش ماسه‌ای  $500\mu m$ - و برای بخش گروالی  $250\mu m$ - تعیین شده است.

۲- مارپیچ همفری با شبیه ملایم به عنوان یک روش پرعيار سازی اولیه و حذف بخشی از باطله مناسب تشخیص داده شد. بر اساس نتایج به دست آمده، امکان حذف حدود ۳۲ درصد از خوراک بدون هدرروی قابل توجه ایلمنیت میسر می‌باشد.

۳- میز لرزان به عنوان یک روش پرعيار سازی نهایی به منظور افزایش عیار کنسانتره، نسبت به تمامی روش‌های بررسی شده مؤثر و کارآمد تشخیص داده شد. به عبارتی، بدون به کارگیری میز لرزان امکان تهیه کنسانتره عیار بالای تجاری میسر نمی‌باشد.

۴- نتایج به دست آمده نشان می‌دهد که فلوشیت ترکیبی از سه جدا کننده فیزیکی اسپیرال، میز لرزان و مغناطیسی‌تر شدت بالا، قابلیت تولید کنسانتره‌ای با عیار بالاتر و بازیابی مناسب‌تری را داشته و برای فرآوری ماده معنی مناسب می‌باشد.

۵- با به کارگیری اسپیرال به عنوان پرعيار کننده اولیه و میز لرزان به عنوان پرعيار کننده نهایی، کنسانتره ایلمنیتی با عیار  $40/11$  درصد  $TiO_2$  و  $39/65$  درصد  $Fe_2O_3$  و بازیابی  $86/41$  درصد به دست آمده است [۶].

### ۵- نتیجه‌گیری

نتایج مطالعات اکتشافی نشان داده است که کانساری پلاسربی با ذخیره مناسب از ایلمنیت در پایین دست روسه‌های خانیک و غازان شکل گرفته است. این ذخیره معنی از نظر تقسیم‌بندی کانسارهای پلاسربی جزو پلاسرهای رودخانه‌ای بوده و سنگ‌های گابرویی توده موسوم به توده نفوذی غازان، سنگ‌های منشاء این پلاسرب می‌باشند. مقدار ذخیره و میانگین عیار  $TiO_2$  محاسبه شده به روش کلاسیک مقاطعه قائم ( $1200\text{--}1453/4$ ) با عیار میانگین  $2/338$  درصد وزنی  $TiO_2$  با روش‌های زمین‌آماری بسیار مشابه بوده و این به نوبه خود، بیانگر دقت بالا در طراحی شبکه اکتشافی و نمونه‌برداری

- [۱۶] Chen, W., Zhou, M. F., and Zhao, T. P (2013) Differentiation of nelsonitic magmas in the formation of the ~1.74 Ga Damiao Fe–Ti–P ore deposit, North China. *Contributions to Mineralogy and Petrology*, 165: 1341-1362.
- [۱۷] Gambogi, J (2010) Titanium and Titanium Dioxide. *Mineral Commodity Summaries. U.S Geological Survey, U.S. Government Printing Office, Washington DC*, 195.
- [۱۸] Ghasemi, A. and Talbot, C.J (2006) A new tectonic scenario for the Sanandaj-Sirjan Zone (Iran). *Journal of Asian Earth Sciences*, 26: 683-693.
- [۱۹] Pang, K. N., Zhou, M. F., Lindsley, D., Zhao, D., and Malpas, J (2008) Origin of Fe-Ti Oxide Ores in Mafic Intrusions: Evidence from the Panzhihua Intrusion, SW China. *Journal of Petrology*, 49(2): 295-313.
- [۲۰] Stocklin, J (1968) Structural history and tectonic of Iran, a review. *American Association of Petroleum Geology Bulletin*. K52 (7): 1229-1258.
- [۴] آقانباتی، ع. و حقی‌پور، ع (۱۳۸۳) شرح نقشه زمین‌شناسی ۱/۱۰۰۰۰ سرو (گنگجین)، انتشارات سازمان زمین‌شناسی و اکتشافات معدنی کشور.
- [۵] پرینی، ع. و رحیم‌سوروی، ی (۱۳۹۴) مطالعات زمین‌شناسی اقتصادی پتاسیل تیتانیم غازان ارومیه. هفتمین همایش انجمن زمین‌شناسی اقتصادی ایران، ۱۷ و ۱۸ شهریور ماه ۱۳۹۴، دانشگاه دامغان.
- [۶] پورقهرمانی، پ (۱۳۹۳) گزارش مطالعات فرآوری کانسینگ پلاسربی خانیک ارومیه با استفاده از روش‌های فیزیکی ۲۸ ص.
- [۷] شرقی، ی (۱۳۹۳) تخمین ذخیره کانسار خانیک و غازان به روش زمین آمار (شرکت توسعه و سرمایه‌گذاری آتیه سپید آسیا - سهامی خاص)، ۶۶ ص.
- [۸] رحیم‌سوروی، ی (۱۳۹۳) گزارش زمین‌شناسی مقیاس ۱/۱۰۰۰۰ محدوده اکتشافی تیتان خانیک - غازان ارومیه (ارائه شده به سازمان صنعت، معدن و تجارت استان آذربایجان غربی).
- [۹] رحیم‌سوروی، ی. و پورقهرمانی، پ (۱۳۹۳) گزارش پایان عملیات اکتشافی تیتان خانیک ارومیه (شرکت توسعه و سرمایه‌گذاری آتیه سپید آسیا - سهامی خاص)، ۱۹۷ ص.
- [۱۰] مدنی، ح (۱۳۷۶) اصول بی‌جوبی، اکتشاف و ارزیابی ذخایر معدنی. انتشارات کیا، ۸۱۶ ص.
- [۱۱] مقدسی، س.ج.، و یزدی، ج (۱۳۹۴) زمین‌شناسی و نحوه تشکیل پلاسربهای تیتانیومدار ناحیه دره جوگز بالا در منطقه فنوج، استان سیستان و بلوچستان، مجله زمین‌شناسی اقتصادی، جلد ۷، شماره ۲، ۳۴۱-۳۲۷.
- [۱۲] Alavi-Naini, M (1972) Explanatory text and geological map of Djam. scale 1:250,000. *Geological Survey of Iran. Tehran, Report 23, 288 pp (in French)*.
- [۱۳] Charlier, B., Skår, Ø., Korneliussen, A., Duchesne, J. C., and Vander Auwera, J (2007) Ilmenite composition in the Tellnes Fe-Ti deposit, SW Norway: fractional crystallization, postcumulus evolution and ilmenite-zircon relation. *Contributions to Mineralogy and Petrology*, 154: 119-134.
- [۱۴] Charlier, B., Namur, O., Malpas, S., de Marneffe, C., Duchesne, J. C., Vander Auwera, J., and Bolle, O (2010) Origin of the giant Allard Lake ilmenite ore deposit (Canada) by fractional crystallization, multiple magma pulses and mixing. *Lithos*, 117: 119-134.
- [۱۵] Charlier, B., Namur, O., Bolle, O., Latypov, R., and Duchense, J. C (2015) Fe-Ti-V-P ore deposits associated with Proterozoic massif-type anorthosites and related rocks. *Earth-Science Reviews*, 141: 56-81.

***Mineralogy and Reserve Evaluation of Khanik-Gazan Titanium Placer Deposit,  
Urmia, Northwest Iran***

***Y. Rahimsouri***

*Dept., of Geology, Faculty of Science, University of Urmia, Urmia*

\* *y.rahimsouri@urmia.ac.ir*

*Received: 2016/5/3 Accepted: 2017/5/31*

***Abstract***

The Khanik-Qazan placer deposit is located at 82 km northwest of Urmia city, western Azarbaijan province. This area is a extremity northwest part of the Sanandaj-Sirjan structural zone. Microscopic studies show that ilmenite, ilmeno-magnetite and magnetite are the main ore minerals and layered gabbros are the main source rocks of these ore minerals. The prospecting activities in this area indicated good results relating to the existence of economic potential of ilmenite and titanomagnetite placer resource. Investigation of particles size distribution of representative total sample of the placer, indicated that 68 vol% of placer sample has sand size ( $< 2.36$  mm), and the residual portion has gravel size ( $> 2.36$  mm). An exploration plan was designed according to field geology studies, preliminary chemical analyses and prepared topographical and geological maps (1/5000 and 1/2000 scales). Eight trenches (a total length of 778.5 m and 1747 m<sup>3</sup> total volume with 131 representative samples) and 43 test pits (a total depth of 140.3 m and 362 m<sup>3</sup> volume with 121 representative samples) were drilled during the exploration phase. Geochemical analyses (carried out by XRF method) show that the grades of TiO<sub>2</sub>, ranges from 0.6 to 3.29 wt% (1.72 wt% in average) in exploration trenches and 1.01 to 4.83 wt% (2.39 wt% in average) in test pits. Vertical cross sectional method and geostatistical methods were used to reserve estimation of the placer ore. The estimated ore (in proved category) were measured 12 Mt with TiO<sub>2</sub> grade of 2.338 wt% by classic method. Based on liberation degree study, suitable particle size for grinding of sand and gravel fractions were determined -500  $\mu$ m and -250  $\mu$ m for sand and gravel fractions, respectively. Mineral processing (ore dressing) studies show that the fraction +70 mesh (+210 micrometer) of sandy part of the Khanik-Qazan palcer ore have high concentrability, so that, an ilmenite concentrate containing 40.11 wt% TiO<sub>2</sub> and recovery percentage of 86.41 are produced by using spiral classifier as primary concentrator and shaking table as final concentrator.

***Keywords:*** Ilmenite, Placer deposits, Reserve estimation, Degree of liberation, Khanik-Gazan deposit, Urmia.